

V-2 モデル実験による鉄筋コンクリート多主析橋の変形能力と破壊形式

北海道大学 学生員 ○ 小笠原 章
 正員 佐伯 昇
 正員 藤田 嘉夫

1. まえがき: 鉄筋コンクリート多主析橋の設計は弾性状態を基本にして行なわれている。しかし、合理的かつ経済的に設計するためには、ひびわれが生じた後の非線形的な挙動についてさらに検討が必要となる。また、安全性の検討のためには、終局荷重をより正確に求める必要がある。筆者らは、鉄筋コンクリート多主析橋についての研究をいくつか行なってきた。本研究においては、実橋をモデルにした単スパンのT形3主析鉄筋コンクリート橋を作製して実験を行ない既往の実験データも合わせて、ひびわれ、変形、破壊について検討を行なった。また、中間横析のある場合について格子析法による近似解により断面力、変形を計算し、主析端部の横析の有無による違い、単純ねじりと曲げねじりの差異について検討した。さらに塑性解析により崩壊荷重を求めた。

2. 実験方法: 実験したモデル橋の諸元を表-1に示す。モルタルは、砂セメント比(S/C)は、M1, M2,

モデル橋	主鉄筋比	モルタル 圧縮強度	モルタル 引張強度	モルタル マング係数	モルタル ボアン比	使用主鉄筋
M 1 ³⁾	0.14	458	24.4	237	0.218	Φ6X4
M 2 ³⁾	0.40	436	28.2	262	0.220	Φ10X4
MT 3 ⁴⁾	0.40	462	27.5	243	0.222	Φ10X4
MT 4	0.72	346	20.7	224	0.218	Φ13X4
MT 5	0.72	364	18.8	249	0.221	Φ13X4
MT 6	0.20	343	18.5	225	0.205	Φ10X2
単位	%	kg/cm ²	kg/cm ²	Ton/cm ²	—	—

表-1

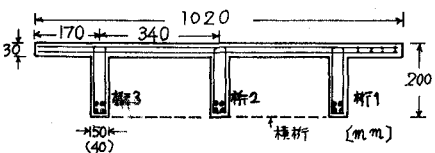


図-1 モデル橋の断面寸法

断面寸法は、図-1に示す通りである。ただし、腹部の幅はM T4, MT5, MT6では5cm, M1, M2, MT3で4cmである。モデル橋の仕上り寸法は図-1より若干大きくなる。スパン長は、M1, M2, MT3で310 cm, MT4, MT5, MT6は320 cmである。主析端部の横析の幅はM1～MT3が10cm、他は15cmである。中間横析の析高、腹部厚は主析と同じ。主析のスターラップの形状はM1～MT3が2.6×18.3 cm, MT4～MT6が3.4×18.3 cmの矩形とし、中3.2 mmの鋼線を用いた。

主析のスターラップの間隔は、M1, M2, MT3が10 cm, MT4, MT5が8cm, MT6は16cm間隔である。中間横析は主析のスターラップと同じものを用い、MT3は9 cm間隔、MT4, MT5は5 cm間隔、MT6で8 cm間隔とした。中間横析の主鉄筋は、MT3, MT6がスターラップと同じ鋼線を4本、MT4, MT5は6本用いた。主析端部の横析は、鉄筋を3本の主析にかかるようにして補強したが、スターラップによる補強はしていない。床版の配筋は、スターラップと同じ中3.2 mmの鋼線をほぼ3 cm間隔に沿接したものを上下2枚使用した。ただし、中央からスパンの長さまでの橋軸と直角方向は2 cm間隔になっている。

測定方法: 垂直変位は、スパン中央で測定した。コンクリートの歪は、床版上面、中間横析の側面にストレインゲージを貼り測定した。また、ひびわれ幅は、床版上面、主析側面にコンタクトゲージを貼り測定した。主鉄筋の歪は、スパン中央部においてストレインゲージを貼り測定した。

載荷方法: 載荷は一等橋後輪下荷重に相当する載荷板を通じ油圧ジャッキで行なった。載荷点は写真-2の四角の点で示すようにスパン中央で5点、スパン中央からスパンの1/3の長さの点に5点計10点である。載荷

MT3が2.0、MT4, MT5, MT6が25, 水セメント比(W/C)はM2, MT3が0.40, M1, MT4, MT5, MT6が0.50である。セメントは普通ポルトランドセメントを用いた。養生は、約20日間湿潤養生し、材令約28日で実験を行なった。

寸法及び配筋:

は、一定の荷重段階で総ての載荷点に載荷してから荷重段階を上げる方法を行なった。最終的には、M1, M2では、外析のスパン中央で破壊させ、MT3は中折で破壊させた。MT4, MT5, MT6については、主鉄筋の歪が約 900×10^{-6} になった後は、外析のスパン中央に1点載荷して破壊させた。破壊は必ずコンクリートの圧縮による曲げ破壊であった。

3. 実験結果及び考察

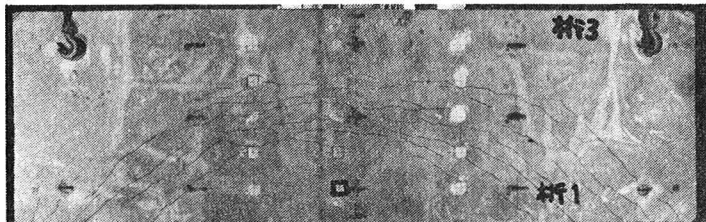


写真-1 中間横析のないモデル橋M2の破壊後の床版のひびわれ

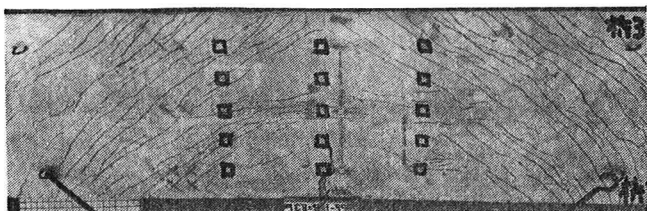


写真-2 中間横析のあるモデル橋MT4の破壊後の床版のひびわれ

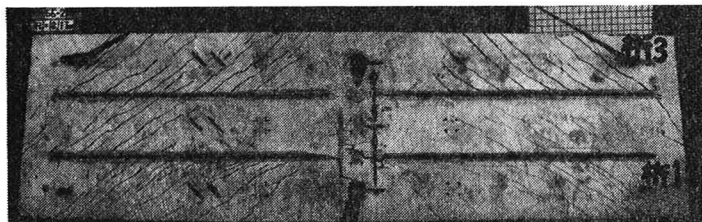


写真-3 格子構造としたモデル橋MT5の破壊後の床版のひびわれ



写真-4 モデル橋M5の析3の最終的ひびわれ



写真-5 モデル橋M5の析3の最終的ひびわれ

ひびわれで、曲げせん断によるひびわれとちょうど何のねじりによる斜めひびわれは、ほとんど生じないのに対して、中間横析のある場合は、最終的にねじりひびわれが生じていた。

垂直変位とねじり角： 図-2にMT4の荷重と垂直変位の関係を示した。図中に析1の主鉄筋の降伏荷重の計算値とそのときの垂直変位の計算値を示している。MT4の垂直変位は、床版の一部を取り除いたMT4(写真-3)と、析1の主鉄筋の降伏荷重(約6.5ton)までほとんど同じであった。この図では、荷重の増大に伴

ひびわれ性状：

写真-1は中間横析のないM2の破壊後の床版のひびわれの様子である。床版にひびわれが生ずると床版の曲げ変形が大きくなり、写真のように載荷点を中心同心円状のひびわれを生じて破壊する。写真2は中間横析のあるMT4の床版のひびわれを示している。この場合、最終的には橋一体としてのねじり変形が大きくなり、写真に見られるようなねじりひびわれを生じて破壊する。主鉄筋の太いMT6では、床版のねじりひびわれの striation は少なかった。

写真-3は、析と析との間の床版を横析の有効幅、主析端部の横析の部分を残して、約1cm取り除いた形主析の格子析としたMT5の破壊後の床版のひびわれを示している。モデルMT4と同様にねじりひびわれを生じている。写真4はモデルMT5の載荷点下の析の最終的なひびわれ状態である。これは、破壊荷重の約1割(0.75ton)ぐらいで曲げひびわれが生じ、斜めひびわれは、破壊荷重の4割(約3ton)ぐらいで観察された。この写真の面は、曲げせん断とねじりによる斜めひびわれの方向が同じになっている。写真5は同じモデルMT5の析3の最終的な

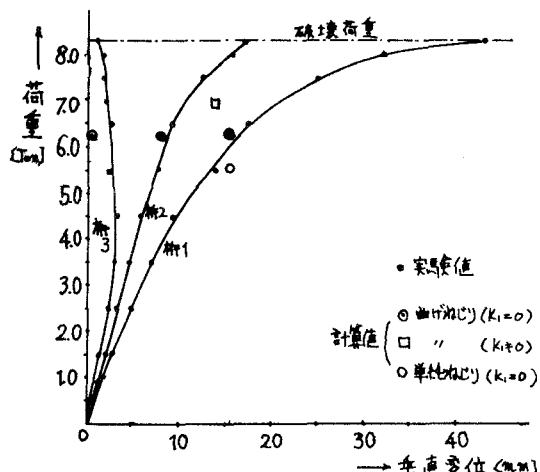


図-2 モデル橋MT4の荷重と垂直変位の関係

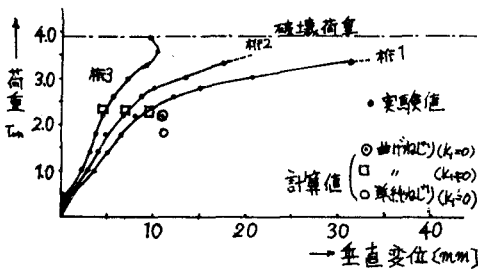


図-3 モデル橋MT5の荷重と垂直変位の関係

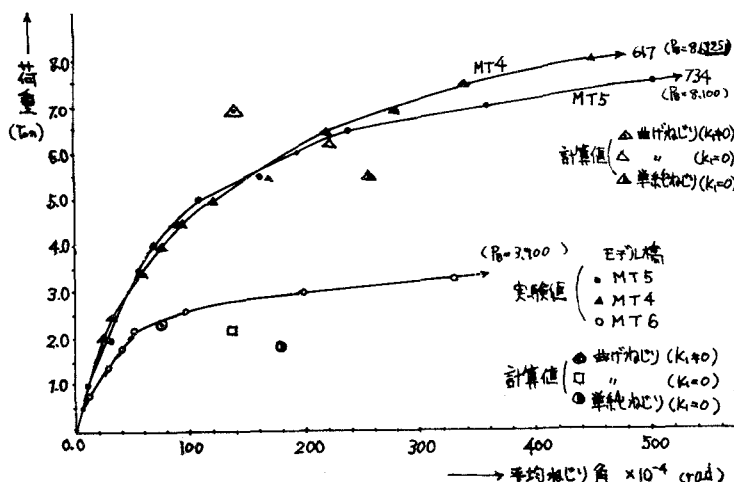


図-4 モデル橋MT4, MT5, MT6の荷重と平均ねじり角の関係

じり剛性は各桁は等しいとする。

主桁のねじりモーメント T :

主桁端部の横桁の
ねじりモーメント T_1

$$T = \frac{K_0}{3(K_0 + 8)} P \cdot l \quad (1)$$

$$T_1 = \frac{4K_1}{K_0 + 8} P \cdot L \quad (2)$$

ない变形形状が徐々に変化している。これに対して主鉄筋の少いMT6では図-3に示すように、曲げひびわれの発生(約0.6ton)、桁1の主鉄筋の降伏(約2.2ton)、桁2の主鉄筋の降伏(約2.8ton)による变形形状の変化が大きい。他にMT6とMT4の異なる点は、MT6では桁3の荷重分担割合が大きいことで、MT4では破壊荷重の4割くらいの荷重から桁3の垂直変位が減少し始めるのに対して、MT6では破壊近くを除き、垂直変位の増加は大きい。これは主として主桁のねじり剛性と曲げ剛性の差の違いによって生じてくる。図-4は実験値から求めた中間横桁のあるMT4, MT5, MT6の主桁の平均的ねじり角で、桁1と桁3の垂直変位の差を距離で割り求めた。計算値は、桁1の主鉄筋の降伏荷重の計算値とその時のねじり角の計算値である。MT4, MT5は、垂直変位(図-2)からもわかるように荷重の増大により徐々に変化している。一方、MT6では、桁1の主鉄筋の降伏により急速に増大している。これは、桁1の主鉄筋の降伏と主桁端部の横桁のねじりひびわれが生じたことにより曲げの荷重再分配が生じねじりモーメントが増大するためで、床版上に貼ったストレインゲージの斜め張歪が、

桁1の主鉄筋が降伏する荷重附近から急速に増大することからわかる。

中間横桁のある場合の近似解

中間横桁のある場合は、近似的に床版の連続を無視し、T形主桁、剛性の非常に大きな中間横桁、主桁端部の横桁から成る格子構造として弹性解を求めることができる。^{17,18)} 本構造(桁1)のスパン中央に荷重がある場合について断面力及び变形の式を示せば、以下のようになる。ただし、主桁の曲げ剛性、

桁1のスパン中央の曲げモーメント M_1 :

$$M_1 = \frac{k_0 + 20 - 48k_1}{3(k_0 + 8)} \cdot \frac{P \cdot L}{4} \quad (3)$$

" " たわみ δ_1 :

$$\delta_1 = \frac{k_0 + 20 - 72k_1}{3(k_0 + 8)} \cdot \frac{P \cdot L^3}{48EI} \quad (4)$$

" "ねじり角 θ_1 :

$$\theta_1 = \frac{T \cdot L}{4 \times GJ} \quad (5)$$

ここで $k_1 = \frac{k_0 \cdot 3}{8(2+k_0 \cdot 3)}$, $k_0 = \alpha \cdot k \cdot 3^2 (1 - 6k_1)$, $3 = \frac{L}{\ell}$, $k = \frac{GJ}{EI}$, $K_a = \frac{GJ_a}{EI}$, EI : 主桁の曲げ剛性

GJ : 主桁のねじり剛性, GJ_a : 主桁端部の横析のねじり剛性, α : 曲げねじりの影響係数(単純ねじり $\alpha = 1.0$)

L : スパン長, ℓ : 桁と桁の中心線間隔, P : 荷重

式(3), (4)から たわみ δ_1 が曲げモーメント M_1 に比べて 主桁端部の横析のねじり剛性の影響をより大きく受けすることがわかる。

桁1の主鉄筋が降伏した後、桁1は塑性曲げモーメント M_o を分担し、曲げ剛性はないとして、主桁端部の横析の剛性をすべてひびわれかせていると考え無視すると

中桁の分担荷重 P_2 :

$$P_2 = \frac{\alpha \cdot k \cdot 3^2 + 8}{20(k \cdot 3^2 + 4)} (P - \frac{4}{L} M_o) \quad (6)$$

主桁のねじりモーメント T :

$$T = \frac{\alpha \cdot k \cdot 3^2}{20(k \cdot 3^2 + 4)} (P - \frac{4}{L} M_o) \cdot \ell \quad (7)$$

桁1, 2の主鉄筋の降伏した後は、力のつり合い条件から

主桁のねじりモーメント T :

$$T = (\frac{2}{3} P - \frac{4}{L} M_o) \ell \quad (8)$$

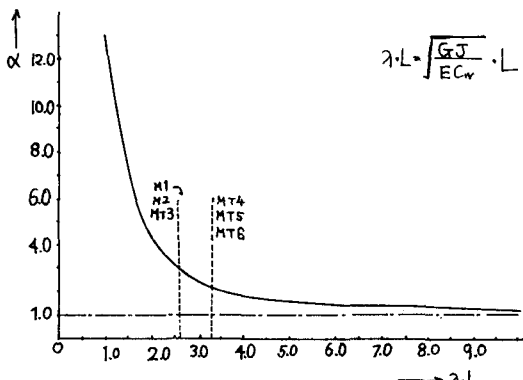


図-5 $\alpha \cdot L$ と α の関係

単純ねじりで考えられる1本の部材のねじりモーメントとねじり角の関係が成り立っているとすれば、単純ねじりで受けたねじりモーメント T は式(1) (7) (8)で求められるねじりモーメント T に関して

$$T_s = T \quad (10)$$

$\alpha \cdot L$ と α について(9)式の計算値を図-5のようになる。曲げねじり剛性 E_{Cw} は、橋に直横から荷重をかけたときの変形抵抗に関するもので、床版は鉄筋で補強され、主桁端部には剛な横析があるから、ひびわれによる E_{Cw} の低下は、 GJ に比べて大きくないと考えられる。また、 α は GJ と E_{Cw} の比のルートになっているから、ひびわれ後も $\alpha \cdot L = \text{一定}$ と仮定している。

ひびわれ後の主桁の曲げ剛性、ねじり剛性: ひびわれ後の剛性は、荷重の増大とともに徐々に低下するため、正確には、荷重に応じた剛性を考える必要がある。本研究においては、主鉄筋の降伏点付近の荷重段階に対応するものとして次の剛性を仮定している。ひびわれ後の曲げ剛性に関しては、コンクリートの引張強度を無

視した換算断面2次モーメント。ねじり剛性として、腹部について鉄筋によりねじりを受けもたらせるampertの式、コンクリート圧縮部のフランジ部分には S_e . Venant の式を用いて両者の和とする。

計算例：式(2)から主桁端部の横析にねじりひびわれが生ずる荷重を上記の剛性を用いて S_e . Venant によって計算すると、MT5は 1.7 ton, MT6は 1.5 ton である。MT5については約 2.5 ton で斜めひびわれが観察された。MT6では、約 2.3 ton で斜めひびわれが生じた。

次に、主鉄筋の降伏する荷重を 桁1の主鉄筋の降伏する荷重は(3)式、桁2の主鉄筋の降伏する荷重は(6)式で求めると表-2のようになる。ここで上段の値が実験値、下段が計算値である。桁1の主鉄筋の降伏荷重の計算値は、桁端部の横析にひびわれが生じていてその剛性を無視している。図-2,3,4 に、ねじり理論の違いと桁端部の横析のねじり剛性の有無による桁1の主鉄筋の降伏荷重の計算値とそのときの変形の計算値を示した。MT4, MT5については主桁端部の横析のねじり剛性を無視した方が実験値に近い。また、MT6については、主桁端部の横析にねじりひびわれが生じていないとした方が実験値に近い。MT4, 5, 6とも曲げねじりを考えた方が実験値に近くなる。桁2の主鉄筋の降伏荷重は、MT4, MT5について計算値の方が大きくなっている。これは、仮定しているねじり剛性より大きな剛性の低下が一因であると考えられる。図-6は主桁端部の横析のねじり剛性が主桁のねじり角にどのような影響を及ぼすかを調べたものである。MT6の場合の主桁の曲げ剛性、ねじり剛性を用いて式(1), (5)から計算した。MT6の主桁端部の横析のねじり剛性を 1.0 にして、このときの主桁のねじり角を 7.0 としている。すなわち、MT6の場合の計算値を基準にしている。主桁のねじり角は、桁端部の横析の剛性を考えるかどうかでかなり異なることがわかる。またこのねじり剛性を小さくすると、単純ねじり理論と曲げねじり理論との差が大きくなり、一方、ねじり剛性を大きくすると単純ねじり理論と曲げねじり理論の差は小さくなる。

モデル橋	桁1の主鉄筋	桁2の主鉄筋
MT4	6.25~6.50	7.5~7.75
	6.23	8.30
MT5	6.0~6.5	7.5~7.9
	6.29	8.38
MT6	2.20	2.80
	2.17	2.84

(Ton)

表-2 主鉄筋の降伏する荷重の計算値と実験値との比較

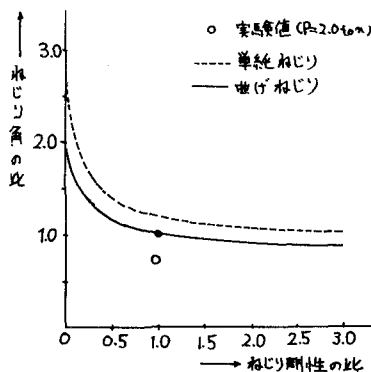


図-6 主桁端部の横析のねじり剛性が主桁のねじり角と実験値 理論による差が大きくなり、一方、ねじり剛性を大きくすると単純ねじり理論と曲げねじり理論の差は小さくなる。

4. 塑性理論による終局荷重(崩壊荷重)の算定

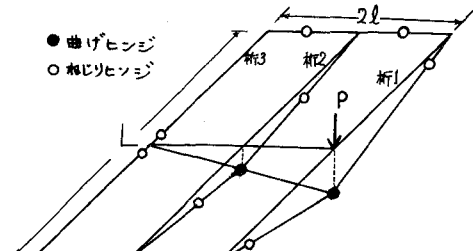


図-7 中間構析のあるモデル橋の崩壊機構

次に、主鉄筋の歪から考えてよく当てはまる。MT6については、床版のひびわれは比較的小なく、桁3の主鉄筋もほぼ降伏した。図-7に示す崩壊機構から、崩壊荷重の算定式を求めれば次式のようになる。

$$P_o = (1.5 + 0.75 \frac{L}{\ell} \frac{T_0}{M_0} + \frac{T_1}{M_0}) \frac{4}{L} M_0 \quad (11)$$

ねじりモーメント モデル橋	横部Pのひび われを考慮する	コンクリート全 断面有効	ねじり無視
MT4	0.96 (0.83)	0.94 (0.82)	0.73
MT5	0.98 (0.86)	0.97 (0.85)	0.76
MT6	0.80 (0.62)	0.88 (0.65)	0.48

表-3 脆壊荷重のねじりの違いによる計算値と実験値との比較

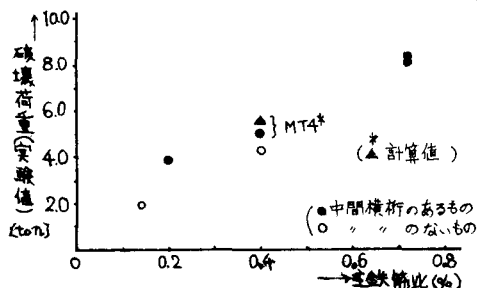


図-8 破壊荷重と主鉄筋比の関係

表-3に計算結果を示している。ねじりに関して(10式)により曲げねじりの効果を考えている。()の内が単純ねじりの場合の値である。塑性ねじりモーメントの考え方による違いはそれ程大きくない。また、ねじりに関して曲げねじりを考えれば、実験値に近くなる。図-8にMT4～MT6の主鉄筋比と終局荷重の関係について示している。MT4はねじり変形が大きくなり載荷不能となった時の値である。この図から、鉄筋比(曲げ耐力)以外の要素が相当影響しているのがわかる。ねじりと曲げせん断の組合せ、横析のせん断破壊(曲げねじり)による2次応力の検討が今後の課題として残っている。

5.まとめ

1. 中間横析のある場合は、近似的に横析を非常に剛なものと考え、析と析の床版の連続を無視した格子構造として解析可能である。計算上仮定したひびわれ後の主析の曲げ剛性、ねじり剛性は、ほぼ主鉄筋の降伏点付近の値として実験値とよく対応していく。

2. 主析のねじり角、垂直変位、荷重分担は、単純ねじりより曲げねじりを考えた方が実験値に近い値となる。また、主析の変形、断面力の計算には主析端部の横析の剛性の有無が影響し、この剛性を考えて計算すると、主析のねじり変形は小さくなり、単純ねじりと曲げねじりによる主析のねじり変形の差もある程度小さくなる。

3. モデル橋の終局荷重の計算の塑性解析理論において、ねじりを無視すると主鉄筋比の小さなモデル橋では、実験値に対するかなり安全側の値となる。コンクリート全断面有効の場合の塑性ねじりモーメント、もしくは、腹部のねじり補強筋(スターラッパー)を考えた塑性ねじりモーメントを考慮すると実験値に近づき、さらに曲げねじりの効果を考えればより実験値に近くなる。

4. モデル橋の終局荷重に対して、主析の曲げ耐力以外に関係するもののうち、中間横析のある場合については、床版の曲げ耐力の影響は小さく、主析のねじり抵抗による寄与は大きい。一方中間横析のない場合は床版の曲げ耐力が重要な要素となり、また中間横析のない場合に比べて終局荷重に対し主析の曲げ耐力の支配する割合は大きい。

すすび、参考文献 実験に際して、本研究室の中津川氏及び齊藤氏に大変な協力を受けた。深く感謝の意を表します。

1) コンクリート橋 橋道英雄著 技報堂: 2) 藤田、佐伯、高田、奈良 "鉄筋コンクリートターピン橋の変形および破壊特性" 土木学会北海道支部論文報告集; 3) 藤田、三上 "鉄筋コンクリートターピン橋のひびわれ発生後の荷重分担について" (セミナー年報33); 4) 藤田、佐伯、中原 "コンクリートターピン橋の横析の有無によるひびわれと荷重分担比較" (セミナー年報34)

5) S.U. PILLAI, S.D. LASH, "Ultimate Strength of Reinforced Concrete Grid and Slab Bridges".